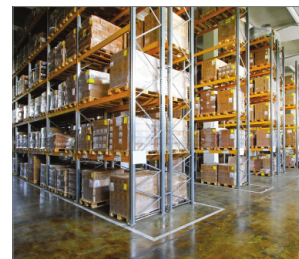


R-KER-II Гібридна смола з втулкою

Високоякісний хімічний анкер на основі гібридної смоли схвалений для використання з втулками

Схвалення

- ETA-21/0242



Інформація про продукт

Особливості та переваги

- Допущено для використання в бетоні з тріщинами і без тріщин (EAD 330499-01-0601), термін служби до 100 років
- Можливість багаторазового кріплення шпильки до втулки в отворі
- Зимова версія може бути використана при більш високих температурах для більш швидкого затвердіння
- Можливість використання в сухих і мокрих основах, отворах і основах, залитих водою
- Короткий час застигання дозволяє швидко виконання роботи
- Висока несуча здатність смоли забезпечує високу продуктивність

Застосування

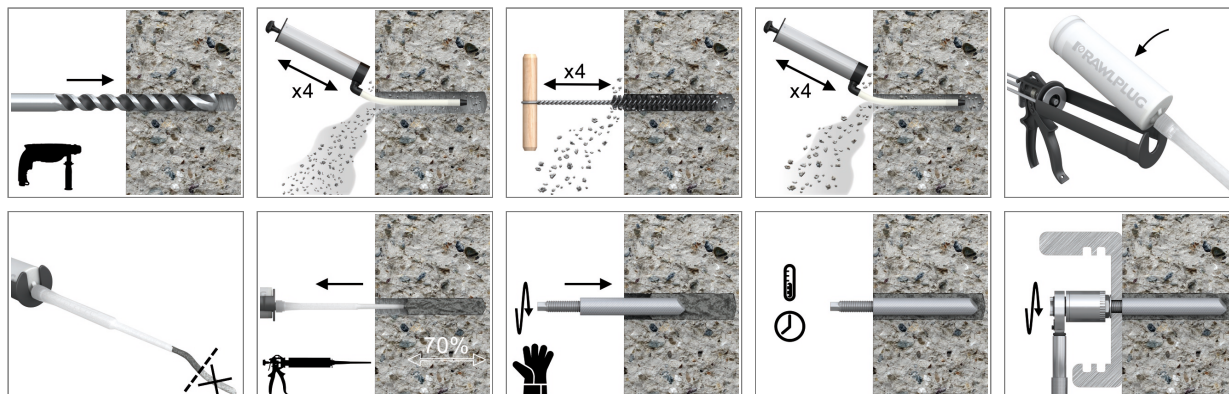
- Навісні фасади
- Балюстради
- Поручні
- Навіси

Основи

Схвалено для використання в:

- Бетон без тріщин C20/25-C50/60
- Бетон з тріщинами C20/25-C50/60

Інструкція до монтажу



Інформація про продукт

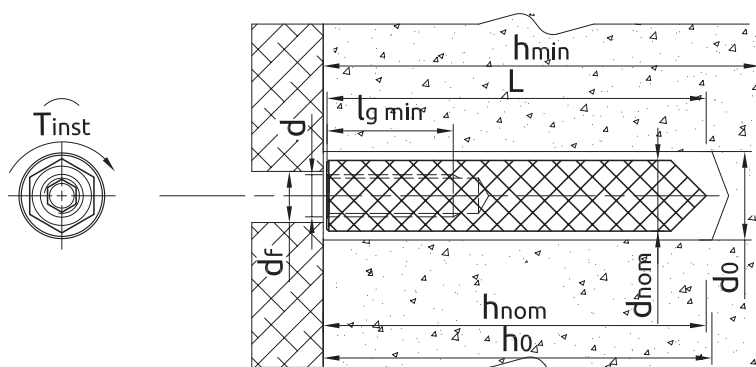
1. Висвердлити отвір необхідного діаметра та глибини для відповідного розміру шпильки
2. Очистити отвір за допомогою ручного насоса і щітки, принаймні 4 рази. Це необхідно зробити перед монтажем
3. Розмістити картридж в пістолеті і закріпити змішувач
4. Розпочинаючи використання нової упаковки, викинути частину смоли до моменту утворення однорідної маси
5. Наповнити смолою 2/3 отвору, починаючи з його дна.
6. Повільно, обертальним рухом вставити шпильку. Видалити залишки смоли навколо отвору, залишити в спокої до моменту застигання.
7. Додати елемент, що кріпиться, і докрутити до відповідного моменту

Код продукту	Смола	Опис / Тип смоли	Об'єм
			[ml]
R-KER-II-300	R-KER-II	R-KER II Гібридна смола	300
R-KER-II-345			345
R-KER-II-400			400
R-KER-II-300-S	R-KER-II-S	[Ukrainian]: R-KER II Hybrid Resin for High Temperature (Summer) / Slow Cure Styrene Free Hybrid Resin	300
R-KER-II-400-S			400
R-KER-II-300-W	R-KER-II-W	[Ukrainian]: R-KER II Hybrid Resin for Low Temperature (Winter) / Rapid Cure Styrene Free Hybrid Resin	300
R-KER-II-400-W			400
R-KER-II-300-SV	R-KER-II	R-KER II Гібридна смола	300

SOCKETS

Розмір	Код продукту		Анкер			Елемент, що	
	Сталь класу 5.8	Марка сталі A4	Діаметр муфти	Довжина	Довжина внутрішньої різьби	Діаметр отвору	Діаметр
			d	L	l _s	d _f	d _i
			[mm]	[mm]	[mm]	[mm]	[mm]
M6	R-ITS-Z-06075	R-ITS-A4-06075	10	75	24	7	-
M8	R-ITS-Z-08075	R-ITS-A4-08075	12	75	25	9	-
	R-ITS-Z-08090	R-ITS-A4-08090	12	90	25	9	-
M10	R-ITS-Z-10075	R-ITS-A4-10075	16	75	30	12	-
	R-ITS-Z-10100	R-ITS-A4-10100	16	100	30	12	-
M12	R-ITS-Z-12100	R-ITS-A4-12100	16	100	35	14	-
M16	R-ITS-Z-16125	R-ITS-A4-16125	24	125	50	18	-

Рекомендації до монтажу



SOCKETS

Розмір			M6	M8	M10	M12	M16		
Глибина монтажу	h_{nom}	[MM]	75	75	90	75	100	100	125
Діаметр різьби	d	[MM]	6	8	8	10	10	12	16
Діаметр отвору в основі	d_0	[MM]	12	14	14	20	20	20	28
Діаметр отвору в елементі, що кріпиться	d_f	[MM]	7	9	9	12	12	14	18
Довжина різьби	h_s	[MM]	24	25	25	30	30	35	50
Мін.глибина отвору в основі	h_0	[MM]	$h_{nom} + 5$	$h_{nom} + 5$	$h_{nom} + 5$	$h_{nom} + 5$	$h_{nom} + 5$	$h_{nom} + 5$	$h_{nom} + 5$
Мін.товщина основи	h_{min}	[MM]	$h_{nom} + 30$ ≥ 100	$h_{nom} + 30$ ≥ 100	$h_{nom} + 30$ ≥ 100	$h_{nom} + 2d_0$	$h_{nom} + 2d_0$	$h_{nom} + 2d_0$	$h_{nom} + 2d_0$
Момент докручування	T_{inst}	[Nm]	3	5	5	10	10	20	40
Мін.інтервал	s_{min}	[MM]	40	40	50	40	50	50	70
Мін.відстань від краю	c_{min}	[MM]	40	40	50	40	50	50	70

Мінімальний час затвердіння і монтажу

R-KER-II

Температура смоли	Температура основи	Час скручування	Час монтажу
[°C]	[°C]	[min]	[min]
5	-5	24 h	40
5	0	3 h	30
5	5	90	15
10	10	60	8
15	15	60	5
20	20	45	2.5
25	25	45	2
25	30	45	2
25	35	30	1.5
25	40	30	1.5

Для мокрого бетону потрібно подвоїти час застигання

R-KER-II S

Температура смоли	Температура основи	Час скручування	Час монтажу
[°C]	[°C]	[min]	[min]
5	5	12 h	40
10	10	8 h	20
15	15	6 h	15
20	20	4 h	10
25	25	3 h	9.5
25	30	2 h	7
25	35	2 h	6.5
25	40	1.5 h	6.5

Для мокрого бетону потрібно подвоїти час застигання

Рекомендації до монтажу

R-KER-II W

Температура смоли	Температура основи	Час скручування	Час монтажу
[°C]	[°C]	[min]	[min]
5	-20	24 h	80
5	-15	16 h	60
5	-10	8 h	40
5	-5	4 h	20
5	0	2 h	14
5	5	60	9
10	10	45	5.5
15	15	30	3
20	20	15	2
25	25	10	1.5
25	30	10	1.5
25	35	5	1
25	40	5	1

Для мокрого бетону потрібно подвоїти час застигання

Механічні властивості

Розмір			M6	M8	M10	M12	M16
R-ITS Втулки з внутрішньою різьбою							
Межа міцності на розрив	f_{uk}	[N/mm ²]	520	500	500	500	500
Номінальна межа пластичності - розрив	f_{yk}	[N/mm ²]	420	400	400	400	400
Поперечний переріз - розрив	A_s	[mm ²]	20	37	58	84	157
Показник міцності перерізу	W_{el}	[mm ³]	21	50	98	170	402
R-ITS-A4 Втулки з внутрішньою різьбою							
Межа міцності на розрив	f_{uk}	[N/mm ²]	700	700	700	700	700
Номінальна межа пластичності - розрив	f_{yk}	[N/mm ²]	350	350	350	350	350
Поперечний переріз - розрив	A_s	[mm ²]	20	37	58	84	157
Показник міцності перерізу	W_{el}	[mm ³]	21	50	98	170	402
Шпильки метричні, сталь класу 5.8							
Характерний момент згину	$M_{Rk,s}^0$	[Nm]	8	19	37	65	166
Розрахунковий момент згину	M	[Nm]	6	15	30	52	133
Допустима стійкість до згинання	M_{rec}	[Nm]	5	11	21	37	95
Шпильки метричні, сталь класу 8.8							
Характерний момент згину	$M_{Rk,s}^0$	[Nm]	12	30	60	105	266
Розрахунковий момент згину	M	[Nm]	10	24	48	84	213
Допустима стійкість до згинання	M_{rec}	[Nm]	7	17	34	60	152
Шпильки метричні, сталь нержавіюча A4							
Характерний момент згину	$M_{Rk,s}^0$	[Nm]	11	26	52	92	233
Розрахунковий момент згину	M	[Nm]	7	17	34	59	149
Допустима стійкість до згинання	M_{rec}	[Nm]	5	12	24	42	107

Основні дані для одного анкерування

SOCKETS

Технічні дані для одного анкера без впливу відстані від краю і відстані між анкерами

Розмір		M6	M8	M10	M12	M16	M6	M8	M10	M12	M16				
Основа		Бетон з тріщинами					Бетон без тріщин								
Ефективна глибина монтажу h_{ef}	[мм]	75.0	90.0	75.0	100.0	125.0	75.0	90.0	75.0	100.0	125.0				
СЕРЕДНЄ РОЗРИВНЕ НАВАНТАЖЕННЯ															
НАВАНТАЖЕННЯ НА ВИРИВАННЯ $N_{R_{u,m}}$															
ШПИЛЬКИ МЕТРИЧНІ, СТАЛЬ КЛАСУ 5.8	[kN]	12.5	21.6	21.6	28.1	34.8	43.2	45.2	12.5	21.6	21.6	34.8	34.8	50.4	100.1
ШПИЛЬКИ МЕТРИЧНІ, СТАЛЬ КЛАСУ 8.8	[kN]	19.2	28.1	34.8	28.1	43.2	43.2	45.2	19.2	34.8	34.8	39.4	55.2	60.6	100.1
ШПИЛЬКИ МЕТРИЧНІ, СТАЛЬ НЕРЖАВІЮЧА А4	[kN]	16.8	28.1	31.2	28.1	43.2	43.2	45.2	16.8	31.2	31.2	39.4	49.2	60.6	100.1
НАВАНТАЖЕННЯ НА ЗРІЗ $V_{R_{u,m}}$															
ШПИЛЬКИ МЕТРИЧНІ, СТАЛЬ КЛАСУ 5.8	[kN]	6.00	10.8	10.8	16.8	16.8	25.2	46.8	6.00	10.8	10.8	16.8	16.8	25.2	46.8
ШПИЛЬКИ МЕТРИЧНІ, СТАЛЬ КЛАСУ 8.8	[kN]	9.60	18.0	18.0	27.6	27.6	40.8	75.6	9.60	18.0	18.0	27.6	27.6	40.8	75.6
ШПИЛЬКИ МЕТРИЧНІ, СТАЛЬ НЕРЖАВІЮЧА А4	[kN]	8.40	15.6	15.6	24.0	24.0	34.8	66.0	8.40	15.6	15.6	24.0	24.0	34.8	66.0
ХАРАКТЕРНЕ НАВАНТАЖЕННЯ															
НАВАНТАЖЕННЯ НА ВИРИВАННЯ N_{R_k}															
ШПИЛЬКИ МЕТРИЧНІ, СТАЛЬ КЛАСУ 5.8	[kN]	10.00	18.0	18.0	22.4	29.0	34.4	37.7	10.00	18.0	18.0	29.0	29.0	42.0	68.8
ШПИЛЬКИ МЕТРИЧНІ, СТАЛЬ КЛАСУ 8.8	[kN]	16.0	22.4	29.0	22.4	34.4	34.4	37.7	16.0	29.0	29.0	32.0	46.0	49.2	68.8
ШПИЛЬКИ МЕТРИЧНІ, СТАЛЬ НЕРЖАВІЮЧА А4	[kN]	14.0	22.4	25.0	22.4	34.4	34.4	37.7	14.0	25.0	25.0	32.0	40.0	49.2	68.8
НАВАНТАЖЕННЯ НА ЗРІЗ V_{R_k}															
ШПИЛЬКИ МЕТРИЧНІ, СТАЛЬ КЛАСУ 5.8	[kN]	5.00	9.20	9.20	14.5	14.5	21.1	39.3	5.00	9.20	9.20	14.5	14.5	21.1	39.3
ШПИЛЬКИ МЕТРИЧНІ, СТАЛЬ КЛАСУ 8.8	[kN]	8.00	14.6	14.6	23.2	23.2	33.7	62.8	8.00	14.6	14.6	23.2	23.2	33.7	62.8
ШПИЛЬКИ МЕТРИЧНІ, СТАЛЬ НЕРЖАВІЮЧА А4	[kN]	7.00	12.8	12.8	20.3	20.3	29.5	55.0	7.00	12.8	12.8	20.3	20.3	29.5	55.0
РОЗРАХУНКОВЕ НАВАНТАЖЕННЯ															
НАВАНТАЖЕННЯ НА ВИРИВАННЯ N_{R_d}															
ШПИЛЬКИ МЕТРИЧНІ, СТАЛЬ КЛАСУ 5.8	[kN]	6.67	12.0	12.0	14.9	19.3	23.0	25.1	6.67	12.0	12.0	19.3	19.3	28.0	45.8
ШПИЛЬКИ МЕТРИЧНІ, СТАЛЬ КЛАСУ 8.8	[kN]	10.7	14.9	19.3	14.9	23.0	23.0	25.1	10.7	19.3	19.3	21.3	30.7	32.8	45.8
ШПИЛЬКИ МЕТРИЧНІ, СТАЛЬ НЕРЖАВІЮЧА А4	[kN]	7.49	13.4	13.4	14.9	23.0	23.0	25.1	7.49	13.4	13.4	21.3	21.4	31.6	45.8
НАВАНТАЖЕННЯ НА ЗРІЗ V_{R_d}															
ШПИЛЬКИ МЕТРИЧНІ, СТАЛЬ КЛАСУ 5.8	[kN]	4.00	7.36	7.36	11.6	11.6	16.9	31.4	4.00	7.36	7.36	11.6	11.6	16.9	31.4
ШПИЛЬКИ МЕТРИЧНІ, СТАЛЬ КЛАСУ 8.8	[kN]	6.40	11.7	11.7	18.6	18.6	27.0	50.2	6.40	11.7	11.7	18.6	18.6	27.0	50.2
ШПИЛЬКИ МЕТРИЧНІ, СТАЛЬ НЕРЖАВІЮЧА А4	[kN]	4.49	8.10	8.24	13.0	13.0	18.9	35.3	4.49	8.21	8.21	13.0	13.0	18.9	35.3

Основні дані для одного анкерування

Розмір		M6	M8	M10	M12	M16	M6	M8	M10	M12	M16				
РЕКОМЕНДОВАНЕ НАВАНТАЖЕННЯ															
НАВАНТАЖЕННЯ НА ВИРИВАННЯ N_{rec}															
ШПИЛЬКИ МЕТРИЧНІ, СТАЛЬ КЛАСУ 5.8	[kN]	4.76	8.57	8.57	10.7	13.8	16.4	18.0	4.76	8.57	8.57	13.8	13.8	20.0	32.7
ШПИЛЬКИ МЕТРИЧНІ, СТАЛЬ КЛАСУ 8.8	[kN]	7.62	10.7	13.8	10.7	16.4	16.4	20.0	7.62	13.8	13.8	15.2	21.9	23.4	32.7
ШПИЛЬКИ МЕТРИЧНІ, СТАЛЬ НЕРЖАВІЮЧА А4	[kN]	5.35	9.55	9.55	10.7	16.4	16.4	18.0	5.35	9.55	9.55	15.2	15.3	22.5	32.7
НАВАНТАЖЕННЯ НА ЗРІЗ V_{rec}															
ШПИЛЬКИ МЕТРИЧНІ, СТАЛЬ КЛАСУ 5.8	[kN]	2.86	5.26	5.26	8.29	8.29	12.1	22.5	2.86	5.26	5.26	8.29	8.29	12.1	22.5
ШПИЛЬКИ МЕТРИЧНІ, СТАЛЬ КЛАСУ 8.8	[kN]	4.57	8.34	8.34	13.3	13.3	19.3	35.9	4.57	8.34	8.34	13.3	13.3	19.3	35.9
ШПИЛЬКИ МЕТРИЧНІ, СТАЛЬ НЕРЖАВІЮЧА А4	[kN]	3.21	5.86	5.86	9.29	9.29	13.5	25.2	3.21	5.86	5.86	9.29	9.29	13.5	25.2

Проектні дані

SOCKETS

Розмір			M6	M8	M10	M12	M16		
Ефективна глибина монтажу	h_{ef}	[мм]	75.00	75.00	90.00	75.00	100.00	100.00	125.00
НАВАНТАЖЕННЯ НА ВИРИВАННЯ									
РУЙНУВАННЯ СТАЛІ; СТАЛЬ КЛАСУ 5.8									
Характерна несуча здатність	$N_{Rk,s}$	[кН]	10.00	18.00	18.00	29.00	29.00	42.00	78.00
Частковий коефіцієнт безпеки	γ_{Ms}	-	1.50	1.50	1.50	1.50	1.50	1.50	1.50
РУЙНУВАННЯ СТАЛІ; СТАЛЬ КЛАСУ 8.8									
Характерна несуча здатність	$N_{Rk,s}$	[кН]	16.00	29.00	29.00	46.00	46.00	67.00	125.00
Частковий коефіцієнт безпеки	γ_{Ms}	-	1.50	1.50	1.50	1.50	1.50	1.50	1.50
РУЙНУВАННЯ СТАЛІ; МАРКА СТАЛІ A4-70									
Характерна несуча здатність	$N_{Rk,s}$	[кН]	14.00	25.00	25.00	40.00	40.00	59.00	109.00
Частковий коефіцієнт безпеки	γ_{Ms}	-	1.87	1.87	1.87	1.87	1.87	1.87	1.87
ВИРИВАННЯ І РУЙНУВАННЯ БЕТОНУ ПО КОНУСУ; БЕТОН БЕЗ ТРИЩИН, C20/25 (40°C/24°C)									
Характерна стійкість до з'єднання	T_{Rk}	[N/mm ²]	11.00	14.00	14.00	11.00	11.00	11.00	8.00
Коефіцієнт тривалого навантаження	ψ_{sus}^0	-	0.72	0.72	0.72	0.72	0.72	0.72	0.72
ВИРИВАННЯ І РУЙНУВАННЯ БЕТОНУ ПО КОНУСУ; БЕТОН БЕЗ ТРИЩИН, C20/25 (80°C/50°C)									
Характерна стійкість до з'єднання	T_{Rk}	[N/mm ²]	11.00	14.00	14.00	11.00	11.00	11.00	8.00
Коефіцієнт тривалого навантаження	ψ_{sus}^0	-	0.72	0.72	0.72	0.72	0.72	0.72	0.72
ВИРИВАННЯ І РУЙНУВАННЯ БЕТОНУ ПО КОНУСУ; БЕТОН БЕЗ ТРИЩИН, C20/25 (120°C/80°C)									
Характерна стійкість до з'єднання	T_{Rk}	[N/mm ²]	6.00	7.00	7.00	6.00	6.00	6.00	4.00
Коефіцієнт тривалого навантаження	ψ_{sus}^0	-	0.61	0.61	0.61	0.61	0.61	0.61	0.61
ВИРИВАННЯ І РУЙНУВАННЯ БЕТОНУ ПО КОНУСУ; БЕТОН З ТРИЩИНАМИ, C20/25 (40°C/24°C)									
Характерна стійкість до з'єднання	T_{Rk}	[N/mm ²]	10.00	10.00	10.00	9.50	9.50	9.00	4.00
Коефіцієнт тривалого навантаження	ψ_{sus}^0	-	0.72	0.72	0.72	0.72	0.72	0.72	0.72
ВИРИВАННЯ І РУЙНУВАННЯ БЕТОНУ ПО КОНУСУ; БЕТОН З ТРИЩИНАМИ, C20/25 (80°C/50°C)									
Характерна стійкість до з'єднання	T_{Rk}	[N/mm ²]	10.00	10.00	10.00	9.50	9.50	9.00	4.00
Коефіцієнт тривалого навантаження	ψ_{sus}^0	-	0.72	0.72	0.72	0.72	0.72	0.72	0.72
ВИРИВАННЯ І РУЙНУВАННЯ БЕТОНУ ПО КОНУСУ; БЕТОН З ТРИЩИНАМИ, C20/25 (120°C/80°C)									
Характерна стійкість до з'єднання	T_{Rk}	[N/mm ²]	5.00	6.00	6.00	5.00	5.00	5.00	2.00
Коефіцієнт тривалого навантаження	ψ_{sus}^0	-	0.61	0.61	0.61	0.61	0.61	0.61	0.61
ВИРИВАННЯ І РУЙНУВАННЯ БЕТОНУ ПО КОНУСУ									
Коефіцієнт безпеки монтажу	γ_{inst}	-	1.00	1.00	1.00	1.00	1.00	1.00	1.00
Коефіцієнт збільшення для NRd,p - C30/37	ψ_c	-	1.04	1.04	1.04	1.04	1.04	1.04	1.00
Коефіцієнт збільшення для NRd,p - C40/50	ψ_c	-	1.07	1.07	1.07	1.07	1.07	1.07	1.00
Коефіцієнт збільшення для NRd,p - C50/60	ψ_c	-	1.09	1.09	1.09	1.09	1.09	1.09	1.00
РУЙНУВАННЯ БЕТОНУ ПО КОНУСУ									
Коефіцієнт безпеки монтажу	γ_{inst}	-	1.00	1.00	1.00	1.00	1.00	1.00	1.00
Коефіцієнт для тріщин бетону	$k_{cr,N}$	-	7.70	7.70	7.70	7.70	7.70	7.70	7.70
Коефіцієнт для неіржавіючого бетону	$k_{ucr,N}$	-	11.00	11.00	11.00	11.00	11.00	11.00	11.00
Відстань від краю	$c_{cr,N}$	[мм]	1,5* h_{ef}	1,5* h_{ef}	1,5* h_{ef}	1,5* h_{ef}	1,5* h_{ef}	1,5* h_{ef}	1,5* h_{ef}
Відстань між анкерами	$s_{cr,N}$	[мм]	3,0* h_{ef}	3,0* h_{ef}	3,0* h_{ef}	3,0* h_{ef}	3,0* h_{ef}	3,0* h_{ef}	3,0* h_{ef}
РУЙНУВАННЯ БЕТОНУ									
Коефіцієнт безпеки монтажу	γ_{inst}	-	1.00	1.00	1.00	1.00	1.00	1.00	1.00

Проектні дані

Розмір			M6	M8	M10	M12	M16		
НАВАНТАЖЕННЯ НА ЗРІЗ									
РУЙНУВАННЯ СТАЛІ; СТАЛЬ КЛАСУ 5.8									
Несуча здатність без ексцентру	$V_{Rk,s}$	[kN]	5.00	9.20	9.20	14.50	14.50	21.10	39.30
Коефіцієнт пластичності	k_7	-	0.80	0.80	0.80	0.80	0.80	0.80	0.80
Характерна несуча здатність з муфтою	$M_{Rk,s}$	[Nm]	7.60	18.70	18.70	37.40	37.40	65.50	166.50
Частковий коефіцієнт безпеки	γ_{Ms}	-	1.25	1.25	1.25	1.25	1.25	1.25	1.25
РУЙНУВАННЯ СТАЛІ; СТАЛЬ КЛАСУ 8.8									
Несуча здатність без ексцентру	$V_{Rk,s}$	[kN]	8.00	14.60	14.60	23.20	23.20	33.70	62.80
Коефіцієнт пластичності	k_7	-	0.80	0.80	0.80	0.80	0.80	0.80	0.80
Характерна несуча здатність з муфтою	$M_{Rk,s}$	[Nm]	12.20	30.00	30.00	59.80	59.80	104.80	266.40
Частковий коефіцієнт безпеки	γ_{Ms}	-	1.25	1.25	1.25	1.25	1.25	1.25	1.25
РУЙНУВАННЯ СТАЛІ; МАРКА СТАЛІ A4-70									
Несуча здатність без ексцентру	$V_{Rk,s}$	[kN]	7.00	12.80	12.80	20.30	20.30	29.50	55.00
Коефіцієнт пластичності	k_7	-	0.80	0.80	0.80	0.80	0.80	0.80	0.80
Характерна несуча здатність з муфтою	$M_{Rk,s}$	[Nm]	10.70	26.20	26.20	52.30	52.30	91.70	233.10
Частковий коефіцієнт безпеки	γ_{Ms}	-	1.56	1.56	1.56	1.56	1.56	1.56	1.56
РУЙНУВАННЯ БЕТОНУ ВНАСЛІДОК РОЗКОЛЮВАННЯ									
Фактор	k	-	2.00	2.00	2.00	2.00	2.00	2.00	2.00
Коефіцієнт безпеки монтажу	γ_{inst}	-	1.00	1.00	1.00	1.00	1.00	1.00	1.00
РУЙНУВАННЯ БЕТОНУ ПО КРАЯХ									
Діаметр прив'язки	d_{nom}	[мм]	10.00	12.00	12.00	16.00	16.00	16.00	24.00
Ефективна довжина анкера	ℓ_f	[мм]	$\min(300; h_{ef}; 12d_{nom})$	$\min(300; h_{ef}; 12d_{nom})$	$\min(300; h_{ef}; 12d_{nom})$	$\min(300; h_{ef}; 12d_{nom})$	$\min(300; h_{ef}; 12d_{nom})$	$\min(300; h_{ef}; 12d_{nom})$	$\min(300; h_{ef}; 12d_{nom})$
Коефіцієнт безпеки монтажу	γ_{inst}	-	1.00	1.00	1.00	1.00	1.00	1.00	1.00

Комбінований відмова витягування анкера і відламування конуса бетону (EN 1992-4:2018, р.7.2.1.6, 7.14 - $N_{Rk,p}^0 = \psi^0 \cdot \tau_{sus} \cdot n \cdot d \cdot h_{ef}$), $h_{ef} = h_{nom}$

Логістичні дані про продукт

Код продукту	Об'єм [мл]	Кількість (шт.)			Вага (кг)			Штрих-коди
		Упаковка індивідуальна	Збірна упаковка	Палета	Упаковка індивідуальна	Збірна упаковка	Палета	
R-KER-II-300 ¹⁾	300	10	10	840	5.9	5.9	525.6	5906675293738
R-KER-II-345 ¹⁾	345	10	10	840	7.6	7.6	668.4	5906675395203
R-KER-II-400 ¹⁾	400	10	10	560	8.2	8.2	489.2	5906675392103
R-KER-II-300-S ¹⁾	300	10	10	840	5.9	5.9	525.6	5906675432045
R-KER-II-400-S ¹⁾	400	10	10	560	8.2	8.2	489.2	5906675432076
R-KER-II-300-W ¹⁾	300	10	10	840	5.9	5.9	525.6	5906675432038
R-KER-II-400-W ¹⁾	400	10	10	560	8.2	8.2	489.2	5906675432069
R-KER-II-300-SV ¹⁾	300	10	10	840	5.9	5.9	525.6	5906675439310

1) ETA-21/0242